



creos<sup>™</sup> è stato lanciato nel

2014

creos<sup>™</sup> xenoprotect

2016

creos™ xenogain creos™ xenogain collagen

2018

creos™ mucogain

2021

creos<sup>™</sup> syntoprotect

2022

creos<sup>™</sup> syntogain creos<sup>™</sup> xenoform

2023

creos™ syntostitch creos™ xenofill creos™ screw fixation creos™ xenofirm

2024

creos<sup>™</sup> syntoprotect mesh creos<sup>™</sup> pin fixation



## Il partner rigenerativo di fiducia per te e i tuoi pazienti

Panoramica dei prodotti basati sulle indicazioni	4
Innesti ossei	
creos™ xenogain	6
creos™ xenogain collagen	6
creos™ xenoform	8
creos™ syntogain	10
Membrane	
creos™ xenoprotect	12
creos™ xenofirm	14
${\sf creos}^{\sf TM}$ sytoprotect mesh	15
creos <sup>™</sup> syntoprotect	16
${\sf creos}^{\sf TM}$ syntoprotect rinforzata in titanio	16
Matrice di collagene	
creos™ mucogain	18
Medicazioni di ferite	
${\sf creos}^{\sf TM}$ ${\sf xenofill}$	20
Suture	
creos <sup>™</sup> syntostitch	21
Sistemi di fissaggio	
creos™ pin fixation	22
$creos^TM$ $screw$ fixation	23
Panoramica degli articoli	24
Bibliografia	34



Vedi la lista degli articoli (p. 24-31) per i codici prodotto più comuni

Preservazione	della cresta
Con chiusura primaria	Senza chiusura primaria
••••	



Innesto crestale verticale

Difetto peri-implantare

Aumento del seno

Difetti parodontali

Aumento dei tessuti molli (intorno a denti o impianti)

















	creos xenogain*	Sostituto eterologo per innesto osseo	0,25-0,5 g	0,25-0,5 g	0,25-0,5 g	0,5-2 g	0,25-0,5 g	1–2 g	0,25 g	
	creos xenogain collagen	creos xenogain + 10% collagene suino di tipo l	0,1-0,25 g	0,1-0,5 g	0,25-0,5 g		0,15-0,25 g	0,25-0,5 g	0,1-0,25 g	
Innesti ossei	creos xenoform*	Sostituto eterologo per innesto osseo	0,25-0,5 g	0,25-0,5 g	0,25-0,5 g	0,5-2 g	0,25-0,5 g	1–2 g	0,25 g	
	creos syntogain*	Innesto osseo sintetico	0,5–1 g	0,5–1 g	0,5–1 g	1 g	0,5 g	1 g	0,5 g	
	creos xenoprotect	Membrana di collagene riassorbibile	15 x 20 mm		15 x 20 mm 25 x 30 mm	25 x 30 mm 30 x 40 mm	15 x 20 mm	15 x 20 mm 25 x 30 mm	15 x 20 mm	
	creos xenofirm	Membrana di collagene riassorbibile, rigida	15 x 20 mm		15 x 20 mm 20 x 30 mm	20 x 30 mm 30 x 40 mm	15 x 20 mm	15 x 20 mm 20 x 30 mm	15 x 20 mm	
Membrane	creos syntoprotect	Membrana in PTFE non riassorbibile ad alta densità		12 x 24 mm 12 x 30 mm 25 x 30 mm			12 x 24 mm 12 x 30 mm 25 x 30 mm			
	creos syntoprotect rinforzato in titanio	Membrana in PTFE ad alta densità, non riassorbibile, rinforzata in titanio		Forme 1 e 2	Forme a seconda del difetto	Forme a seconda del difetto	Forme a seconda del difetto			
Mesh	creos syntoprotect mesh	Mesh in PTFE rinforzata			Forme a seconda del difetto	Forme a seconda del difetto	Forme a seconda del difetto			
Matrici	creos mucogain	Matrice di collagene assorbibile								15 x 20 mm 25 x 30 mm
Medicazioni di ferite	creos xenofill	Medicazione di ferite assorbibile		Cilindro (solo con alveoli completamente intatti)						Cuscinetto, nastro (per sito donatore)
Suture	creos syntostitch	Sutura in PTFE non assorbibile – monofilamento	Tutte le misure	Tutte le misure	Tutte le misure	Tutte le misure	Tutte le misure	Tutte le misure	Tutte le misure	4-0; 5-0
T	creos screw fixation	Viti di fissaggio autoforanti in titanio			Tutti i tipi	Tutti i tipi	Viti di fissaggio della membrana; viti per tenting			
Sistemi di fissaggio	creos pin fixation	Perni di fissaggio della membrana assorbibili o non assorbibili			Magnesio e titanio	Titanio	Magnesio e titanio	Magnesio e titanio		

Nota Per le informazioni complete relative alle prescrizioni, tra cui indicazioni, controindicazioni, avvertenze e precauzioni, consultare le Istruzioni per l'uso. I volumi e le misure elencati sono da considerarsi approssimativi e possono variare a seconda del difetto/paziente.

# creos<sup>TM</sup> xenogain

Innesto osseo eterologo utilizzato per la rigenerazione ossea guidata e la rigenerazione guidata dei tessuti

#### Tre diversi metodi di applicazione:









Simile all'osso umano

#### Maneggevolezza

#### Fondamenta solide per il trattamento implantare







## creos™ xenogain collagen









#### Struttura per il successo della rigenerazione

Processo di produzione ottimizzato che preserva le caratteristiche naturali dell'osso.<sup>2</sup>

#### Composizione chimica

Con un rapporto calcio-fosfato che riflette la composizione dell'osso umano e una struttura a cristallinità contenuta, l'organismo accetta creos xenogain come struttura adatta per la formazione di osso.1

#### Dimensioni delle particelle

- Dimensioni omogenee delle particelle<sup>1</sup>
- Preserva lo spazio per la rigenerazione ossea<sup>4</sup>

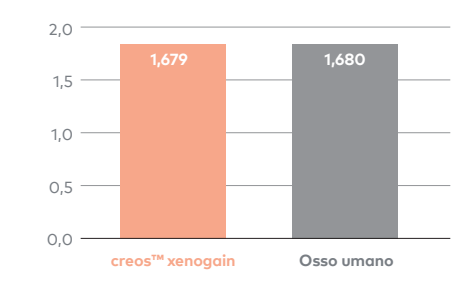
#### Nanostruttura preservata

Nanostruttura preservata, grazie al trattamento a una temperatura comparativamente bassa (600 °C) senza sinterizzazione.2

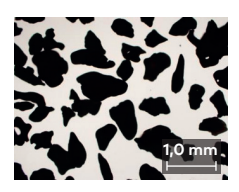
#### Micro e macro struttura

I macropori interconnessi consentono alle cellule e ai capillari di invadere gli innesti ossei e i micropori contribuiscono al fabbisogno di liquido capillare (idrofilia).<sup>10,11</sup>

#### Rapporto calcio-fosfato



Micrografia fotografica di creos xenogain e del prodotto di riferimento che illustra la distribuzione delle







Prodotto di riferimento (0.25 - 1.0 mm)

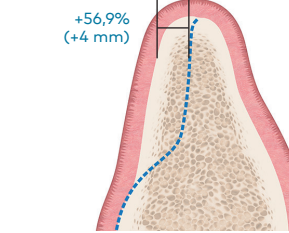
### Fondamenta solide per il posizionamento implantare

L'innesto si integra con l'osso di nuova formazione, costruendo una base per la riuscita del posizionamento dell'impianto.4

Schema che illustra il difetto e le dimensioni dell'osso prima del trattamento e dopo la procedura di GBR





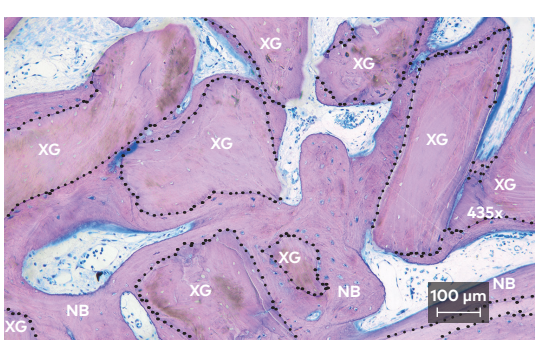


Situazione iniziale prima 8 mesi dopo l'intervento della GBR chirurgico

In uno studio clinico multicentrico condotto su 46 pazienti, l'aumento osseo dopo 8 mesi è stato pari a 4,0 mm (guadagno +56,9%) e 4,7 mm (guadagno del 51,0%) rispettivamente a 1 mm e 3 mm dalla sommità della cresta.6

La GBR ha portato a una significativa rigenerazione ossea durante gli 8 mesi di guarigione, consentendo la riuscita del posizionamento di 91 impianti in 43 pazienti con un torque di inserimento medio di 37,8 ± 5,1 Ncm.6

Sezione trasversale istologica dei componenti cellulari: osso nuovo



La valutazione istologica dei nuclei ottenuti con fresa trephine ha mostrato il 37,3% di osso nuovo, il 39,1% di materiale da innesto e il 23,6% di tessuto molle (n = 6 nuclei, 3 pazienti).6



Scansiona il codice per

## creos<sup>TM</sup> xenoform

Innesto osseo eterologo utilizzato per la rigenerazione ossea guidata e la rigenerazione guidata dei tessuti

Osso bovino spongioso proveniente dall'Australia con due tipi di applicazione e due granulometrie





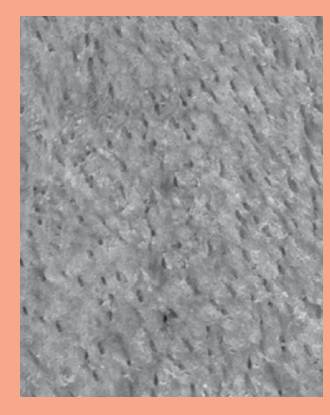






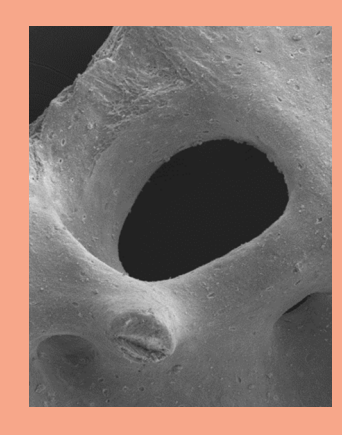
#### Struttura multiporosa

- Realizzato da osso spongioso al 100%
- Nuovissima tecnica di polverizzazione che consente una struttura multiporosa
- → Massimizzazione della crescita dei vasi sanguigni



#### Topografia naturale della superficie

- Tecnica di lavorazione a bassa temperatura
- → Stimolazione dell'attività degli osteoblasti



#### Pori di grandi dimensioni

- creos xenoform è caratterizzato da pori di dimensioni relativamente grandi (300-400 µm) rispetto ad altri prodotti leader a livello globale
- → Favorisce l'accesso e lo sviluppo dei vasi sanguigni<sup>1,2</sup>

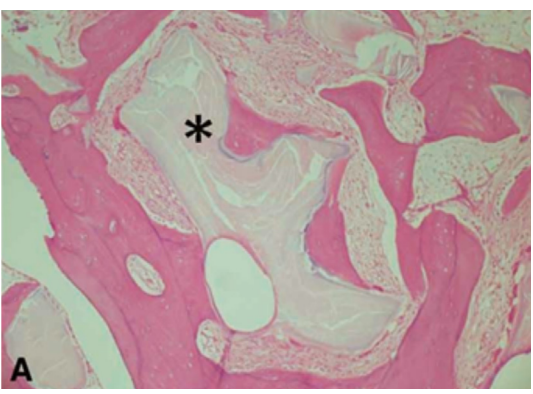


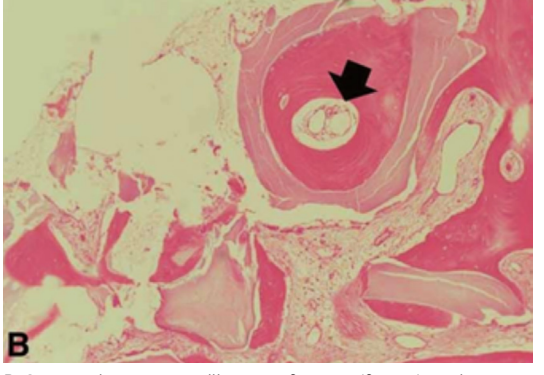
#### Cristalli di fosfato octacalcico

- Presenti sulla superficie
- → Miglioramento della rigenerazione e della formazione ossea<sup>1</sup>

#### Esame istologico: neoformazione ossea di creos xenoform innestato nella cavità del seno mascellare umano<sup>3</sup>

- Sono state eseguite procedure di innesto del seno mascellare in 10 pazienti
- 6 campioni utilizzati per l'analisi istomorfometrica
  - → 23,5% di osso nuovo e 15,4% di materiale di innesto residuo, 6 mesi dopo l'intervento di innesto osseo
  - → Quantità di osso neoformato maggiore rispetto al materiale di innesto residuo



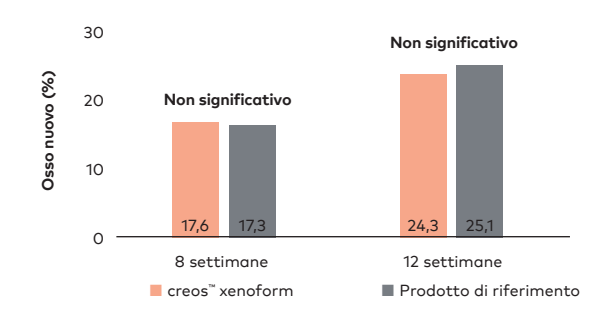


A. Materiale di innesto residuo (\*) circoscritto dall'osso neoformato.

B. Crescita di microvasi nell'osso neoformato (freccia) con lacune nelle lamelle del tessuto osseo

#### Alta percentuale di osso appena rigenerato

- Le biopsie dei pazienti mostrano 23,5±0,1% di nuovo osso contro 15.4±0.06 di innesto osseo residuo a 6-8 mesi dal rialzo sinusale.3
- In un modello in vivo per valutare l'effetto di guarigione ossea dei biomateriali, la percentuale di osso neoformato con creos xenoform e il prodotto di riferimento erano comparabili (le differenze non erano statisticamente significative). Non sono state osservate infezioni o complicazioni dopo l'intervento.1



#### Successo a lungo termine in ambito clinico

Negli ultimi 10 anni, creos xenoform è stato utilizzato da chirurahi dentali di tutto il mondo e in situazioni cliniche difficili.



Immagine per gentile concessione di Myung Ho Lee, DDS, Repubblica di Corea



# creos<sup>TM</sup> syntogain

## Sostituto non animale per innesto osseo per una rigenerazione efficiente

#### Composizione esclusiva del materiale<sup>1,2,3</sup>

#### Superficie microscopica composta da nanocristalli<sup>1,4</sup>

#### Stabilità ossea<sup>1,10</sup>







#### Processo di produzione avanzato<sup>1</sup>

creos syntogain rappresenta la nuova generazione di innesti ossei sintetici. Il suo processo di produzione in ambiente acquoso e a bassa temperatura consente di ottenere un innesto osseo con una composizione esclusiva, granuli di forma tondeggiante, un'area superficiale elevata e una nano-/micro-porosità simile all'osso naturale.

#### 1. Composizione esclusiva<sup>1,2,3</sup>

- 80% di CDHA (idrossiapatite carente di carbonato di calcio)
- 20% di B-tricalcio fosfato.

La cristallinità del CDHA di creos syntogain è simile a quella dell'osso umano.<sup>1,2,3</sup> Più un materiale è simile all'osso umano, migliore è per la formazione dell'osso.15



Prodotti sintetici tradizionali a base di fosfato di calcio (HA/B-TCP)

Processo di produzione ad alta temperatura: passiva i materiali e riduce il potenziale di interazione



creos syntogain, fosfato di calcio biomimetico (CDHA/B-TCP) Processo di produzione a basso temperatura: i cristalli di idrossiapatite crescono lentamente per imitare la struttura e la . composizione dell'osso umano

#### 2. Elevata area superficiale specifica<sup>1,5,6</sup>

Grazie al processo di produzione biomimetico, i cristalli di idrossiapatite crescono sulla superficie dei aranuli. Ciò aumenta l'area superficiale e consente l'attacco delle cellule per la generazione ossea.16

#### Adsorbimento di N<sub>2</sub>



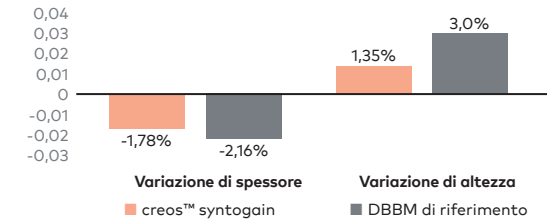
L'area superficiale specifica è stata misurata

#### Risultati clinici<sup>17</sup>

In uno dei più estesi studi clinici randomizzati condotti sulla rigenerazione ossea dentale con 102 pazienti che necessitavano di un aumento osseo, creos syntogain ha dimostrato la non inferiorità rispetto alla matrice di osso bovino deproteinizzato (DBBM) di riferimento: non è stata osservata alcuna differenza statisticamente significativa nella variazione dimensionale verticale e buccolinguale.

Sei mesi dopo l'innesto, la variazione ossea media in larghezza e altezza è stata rispettivamente -1,78% e 1,35% per creos syntogain (n=42) e -2,16% e 2,99% per la DBBM di riferimento (n=41). Le differenze tra i due materiali non sono state statisticamente significative.

Modifica verticale e orizzontale (%) a 6 mesi dall'innesto osseo



Il torque medio di inserimento dell'impianto era di 36,2 Ncm nei siti rigenerati con creos syntogain e 35,1 Ncm nei siti rigenerati con la DBBM di riferimento. Per creos syntogain, il 71,1% degli impianti è stato posizionato con un torque di inserimento superiore a 35 Ncm e il 62,8% per la DBBM di riferimento.

	creos™ syntogain n=45	DBBM di riferimento	t-test
Torque di inserimento (Ncm <sup>-1</sup> )	36,2	35,1	0,676
DevSt	12,4	13,6	
ISQ	70,2	70,8	0,770
DevSt	12,0	9,8	



# creos<sup>TM</sup> xenoprotect

La membrana di collagene riassorbibile più venduta di Nobel Biocare



#### Maneggevolezza<sup>1,2</sup>

- Non aderisce agli strumenti
- Possibilità di riposizionamento in situ
- Espansione superficiale contenuta quando idratata
- Utilizzabile su entrambi i lati per la correzione del difetto

#### Elevata resistenza meccanica<sup>2,3,4</sup>

- Elevata ritenzione della sutura<sup>1,4,9</sup>
- Elevata resistenza alle lacerazioni

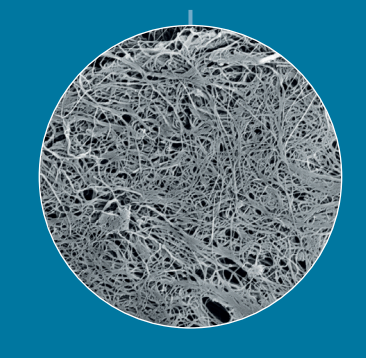
#### Membrana di collagene naturale

- Non reticolata chimicamente<sup>14</sup>
- Realizzato in collagene suino

## Favorisce il guadagno

- Biocompatibilità testata e approvata<sup>7,10</sup>
- Risultati clinici positivi<sup>7,10</sup>







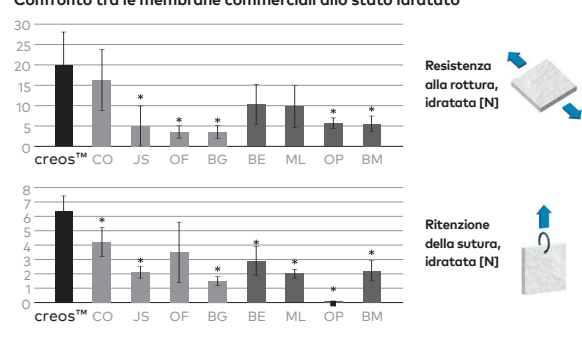
"Ciò che prediligo è la maneggevolezza della membrana. La stabilità meccanica è elevatissima e la membrana, una volta reidratata, si adatta molto bene all'osso sottostante"

#### Elevata resistenza meccanica

In uno studio in vitro volto a confrontare la resistenza meccanica delle membrane di collagene nativo non reticolate chimicamente e reticolate chimicamente comunemente usate<sup>4</sup>

- creos xenoprotect ha dimostrato la resistenza più elevata alla rottura, idratata (21,2 N).
- creos xenoprotect ha dimostrato la più elevata ritenzione della sutura quando idratata (6,1 N).

#### Confronto tra la membrana commerciali allo stato idratato



Membrane di collagene non reticolate (NXL) – CX: creos™ xenoprotect Flex [3i]: BG: Bio-Gide [Geistlich]

Membrane di collagene reticolate (XL) – BE: BioMend Extend [Zimmer];

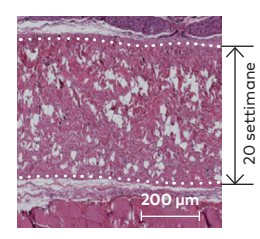
\*Statisticamente significativo

#### Fornisce una barriera fisica per contenere il materiale da innesto osseo nel sito del difetto<sup>1,2,3,5,6,11,12,13</sup>

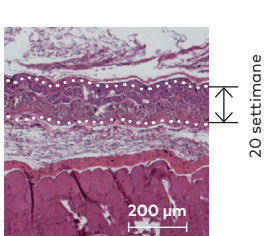
Impedisce la ricrescita del tessuto circostante per un periodo di tempo sufficiente a consentire la rigenerazione ossea.

In un modello animale, dopo 20 settimane, la riduzione dello spessore di xenoprotect è stata solo lieve, mentre la membrana di riferimento ha mostrato la riduzione dello spessore di circa il 50%, confermando la più elevata stabilità di xenoprotect alla biodegradazione in vivo.3

Immagini istologiche rappresentative, 20 settimane dopo l'impianto in un modello murino



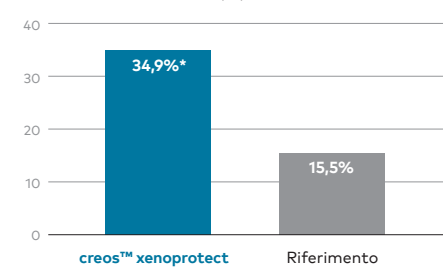
creos<sup>™</sup> xenoprotect



Membrana di riferimento

### Agevola la formazione di nuovo tessuto osseo<sup>2,3,5,6,7,8</sup>

#### Formazione di osso nuovo (%)



In uno studio comparativo in vivo, creos xenoprotect ha dimostrato una formazione di nuovo osso significativamente più alta nella parte centrale del difetto.

Questo aumento nella formazione di osso è stato associato a un'espressione significativamente maggiore del fattore di crescita Bmp2, che svolge un ruolo importante nell'osteogenesi.<sup>7</sup>

In una sperimentazione clinica controllata randomizzata, 24 pazienti sono stati trattati con creos xenoprotect e 25 con una membrana di riferimento. Nel gruppo di creos xenoprotect, alla riapertura dopo 6 mesi è stata osservata una riduzione dell'81% dell'altezza del difetto.

Nel gruppo della membrana di riferimento, alla riapertura dopo 6 mesi è stata osservata una riduzione del 62% dell'altezza del difetto.<sup>5</sup>

Schema che illustra l'altezza del difetto prima del trattamento e 6 mesi dopo la procedura di GBR





17 + 21 mr



creos™ xenoprotect





\*Come illustrato in un modello animale (murino, sottocutaneo)

\*Statisticamente significativo

## creos<sup>™</sup> xenofirm

Membrana di collagene riassorbibile, rigida e di lunga durata

#### Flessibilità ottimizzata

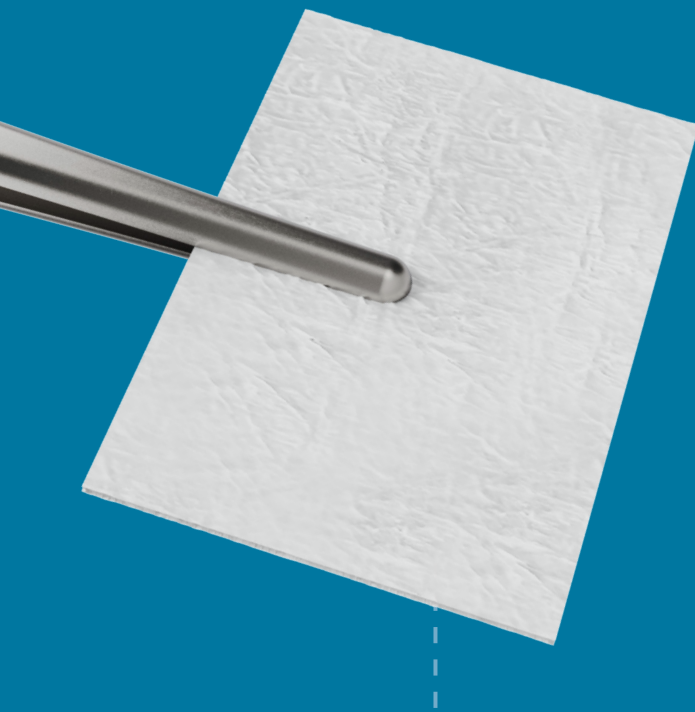
 Abbastanza rigida da consentire un facile posizionamento, ma facilmente applicabile sulla cresta

## Tempo di riassorbimento lungo e prevedibile

- Tempo di riassorbimento 26-30 settimane

#### Resistenza tensile elevata

- Suturare o fissare con chiodini la membrana senza strappi





## Prodotto da tendine d'Achille bovino di tipo 1 altamente purificato

La costruzione in fibra ricostituita consente l'integrazione dei tessuti, impedendo al contempo il passaggio diretto delle cellule epiteliali.



# creos<sup>™</sup> syntoprotect mesh

Mesh in PTFE rinforzata non riassorbibile per la stabilizzazione e il supporto di innesti ossei negli aumenti della cresta orizzontali e verticali



#### L'adattabilità di una membrana con la porosità di una mesh

Mantiene lo spazio, essenziale per gli aumenti di cresta orizzontali e verticali, ma con i vantaggi di una maggiore facilità di taglio e adattamento.

#### Opzioni di utilizzo

15 forme adatte a trattare diverse indicazioni.

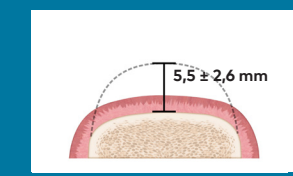
## Design macroporoso unico

Il contatto diretto tra l'innesto osseo e il periostio permette una rivascolarizzazione naturale e l'infiltrazione di cellule nell'innesto osseo.



## Innesto osseo verticale con l'utilizzo di mesh in PTFE rinforzata<sup>1</sup>

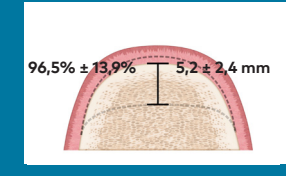
Uno studio pubblicato da Urban et al. che includeva 57 pazienti (65 difetti) ha rilevato che il guadagno osseo assoluto medio dopo l'innesto osseo verticale con mesh in PTFE rinforzata era di 5,2 ± 2,4 mm, con un guadagno relativo del 96,5 ± 13,9%. Complessivamente, l'89,2% dei casi ha mostrato una rigenerazione completa.



Difetto verticale iniziale



Innesto osseo verticale con l'utilizzo di mesh in PTFE rinforzata



Guadagno dell'osso assolu medio 5,2 ± 2,4 mm



"creos PTFE mesh consente la vascolarizzazione che si ottiene con una mesh, ma con la morbidezza di una membrana che rimane delicata sui tessuti molli. Con la mesh, e la qualità dell'osso che vedo a sette mesi, posso ridurre di circa due mesi il tempo necessario per l'impianto".

Dr. Istvan Urban, DMD, MD, PhD



Scansiona il codice per maggiori informazioni.

# creos<sup>TM</sup> syntoprotect

Membrana in PTFE denso non riassorbibile per la gestione dell'alveolo estrattivo, l'aumento della cresta e l'innesto di difetti di grandi dimensioni.



### Membrana in PTFE syntoprotect

#### Lasciare intenzionalmente la membrana esposta

Conservazione dell'architettura dei tessuti molli e della mucosa cheratinizzata

#### Non riassorbibile

Non si riassorbe prematuramente – sarai tu a stabilire il tempo di guarigione

#### 100% PTFE ad alta densità (non espanso)

Impenetrabile ai batteri – dimensione dei pori inferiore a 0,3 µm

I tessuti molli si attaccano, ma non crescono attraverso la membrana

La membrana esposta consente la rimozione non chirurgica; non è necessaria l'anestesia





## Membrana in PTFE rinforzata in titanio syntoprotect

#### Struttura delicata, leggera

Facile da tagliare e adattare ai tessuti molli sovrastanti

#### Less is more

La minore massa di titanio consente una maggiore versatilità nella sagomatura e nel posizionamento e fornisce stabilità aggiuntiva in estesi difetti ossei che non creano spazio

### Opzioni di utilizzo

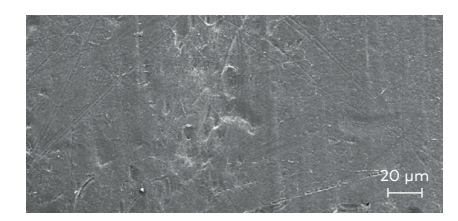
Ampio portafoglio con 15 forme in due spessori

#### Design tradizionale della struttura

Con delicati "supporti" in titanio strategicamente posizionati, con più di 25 anni di storia clinica e successo nell'uso nella GBR

### Proprietà uniche delle membrane in PTFE ad alta densità

#### PTFE ad alta densità



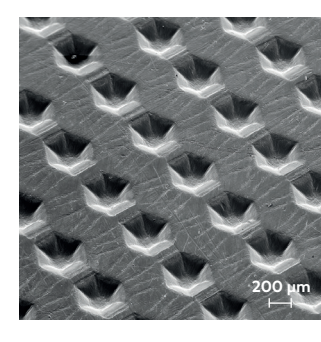
nagine SEM per gentile concessione di Schüpbach

#### PTFE espanso



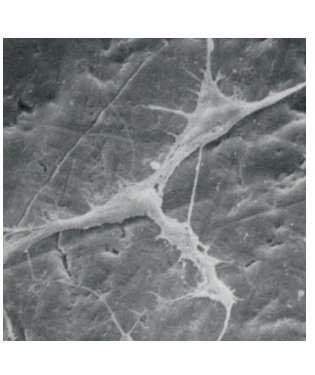
Il PTFE ad alta densità è stato progettato per resistere all'esposizione nell'ambiente orale e auesto rappresenta un miglioramento rispetto alle versioni precedenti del PTFE espanso in applicazioni come la conservazione della cresta, dove l'esposizione deliberata della membrana offre diversi vantaggi.

### Progettato per favorire la stabilizzazione della membrana



di Schüpbach SA, Svizzera.

Il pattern esagonale superficiale fornisce una superficie con trama che aumenta l'area disponibile per l'attacco cellulare senza aumentare la porosità. La superficie con trama è progettata per contribuire a stabilizzare la membrana e il lembo di tessuto molle.



Anche se il PTFE è intrinsecamente un materiale antiaderente. le cellule aderiscono all'esterno delle membrane in PTFE ad alta densità. L'adesione cellulare è importante per creare una tenuta attorno ai bordi delle membrane in PTFE ad alta densità esposte o per sostenere la chiusura primaria nelle applicazioni di innesto più grandi.

### Evidenze cliniche

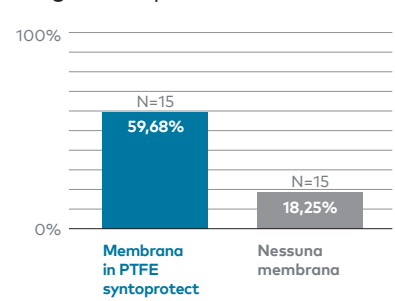
#### Efficacia

Perdita ossea 1 anno dopo l'estrazione<sup>1</sup>



Perdita ossea verticale misurata sulla cresta. Misurazione orizzontale dallo stent all'osso vestibolare

#### Rigenerazione del tessuto molle 90 giorni dopo l'estrazione<sup>2</sup>



Misurazione come riduzione della distanza occlusale tra i margini gengivali vestibolare e linguale

#### Aumento della cresta verticale attorno agli impianti<sup>3</sup>



Rigenerazione ossea verticale media.

#### Prevedibilità

In due studi separati che trattano un totale di 696 siti estrattivi con membrane in PTFE ad alta densità in una tecnica esposta, non sono state segnalate infezioni.<sup>4,5</sup>



# creos<sup>TM</sup> mucogain

Matrice di collagene progettata per promuovere la rigenerazione dei tessuti molli

Non richiede un secondo sito chirurgico<sup>1,2,3</sup>



#### Metodo di produzione brevettato

- Struttura porosa aperta con interconnessioni.
- Progettata per favorire la rigenerazione del tessuto molle attraverso la migrazione di cellule e vasi sanguigni nella matrice.<sup>4,5,6</sup>

#### Numerose opzioni

- Disponibile in dimensioni e spessori diversi.

#### Gestione eccellente

- Semplicità d'uso<sup>7</sup>
- Elevata ritenzione della sutura e resistenza alle sollecitazioni<sup>7</sup>
- Effetto memoria dopo l'idratazione e simulazioni di carico in vitro<sup>4</sup>
- Ritagliala per adattarla in modo preciso al sito chirurgico<sup>7</sup>

#### Clinicamente efficace

 Ha dimostrato di favorire la salute del tessuto molle e mantenere uno spessore adeguato del tessuto molle in uno studio clinico.<sup>23,24,25,26</sup>







"Sembrava un innesto di tessuto autogeno e la stabilità meccanica è straordinaria".

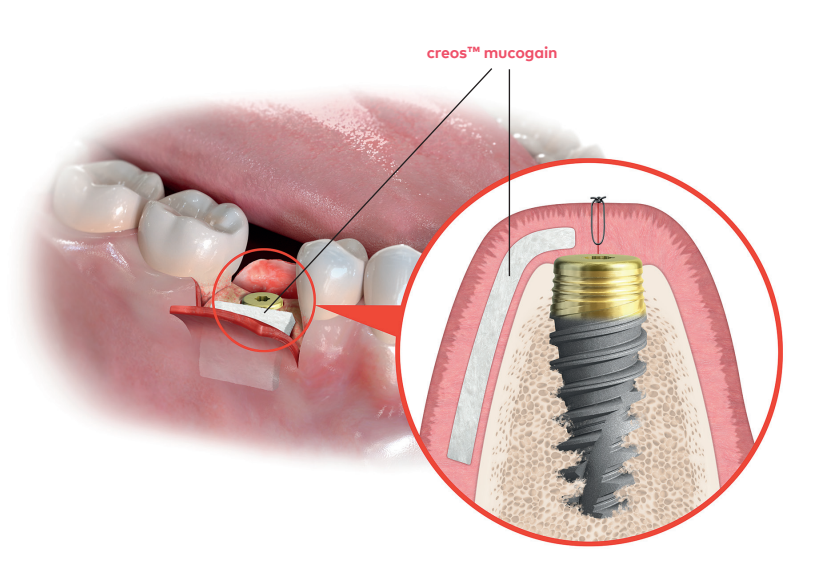
Dott. Miguel González Menéndez, Spagna



#### Pronta all'uso

creos mucogain è destinata all'uso per indicazioni di innesto di tessuto molle nella cavità orale, attorno ai denti o agli impianti:

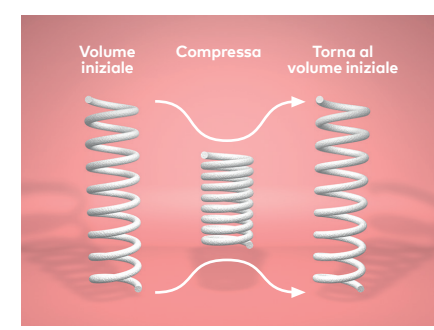
- Procedure di rigenerazione guidata dei tessuti (GTR) nelle recessioni per la copertura radicolare.
- Innesto gengivale localizzato per accrescere il tessuto cheratinizzato attorno ai denti e agli impianti.



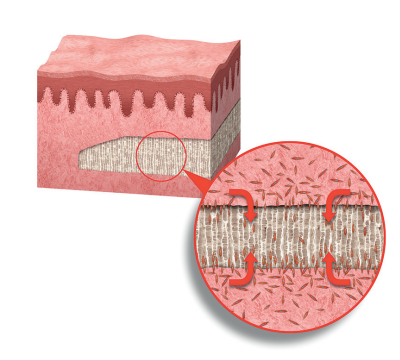
### Struttura porosa orientata esclusiva



**1. Struttura della matrice** Struttura porosa con interconnessioni prodotta grazie a un processo brevettato.<sup>4,5,6</sup>



2. Proprietà meccaniche Dopo l'idratazione e la compressione in 49 cicli in vitro, l'innesto riacquisisce il suo volume iniziale.<sup>4</sup>



3. Risultato biologico
Progettata per favorire la rigenerazione del
tessuto molle attraverso la migrazione di cellule
e vasi sanquiani nella matrice <sup>46</sup>

#### Clinicamente efficace<sup>7,8,9,10</sup>

Clinicamente efficace per la rigenerazione dei tessuti molli in combinazione con il posizionamento immediato dell'impianto e la procedura di innesto osseo.<sup>7,8</sup>

Un'analisi retrospettiva condotta su 45 pazienti, con follow-up fino a 4,5 anni (media di 1,8 ± 1,3 anni) ha dimostrato che creos mucogain promuove la salute dei tessuti molli e mantiene un adeguato spessore del tessuto molle, quando utilizzata in concomitanza del posizionamento dell'impianto.°

#### caso clinico

Vista vestibolare prima dell'intervento chirurgico (a sinistra) e 8 mesi dopo l'intervento chirurgico (a destra) su #22, #24, #25, #26 dopo il trattamento con creos mucogain.





Cirillo F. (March 2020). Periodontal plastic surgery: gingival recession coverage with a xenogenic collagen matrix. The Foundation for Oral Rehabilitation (FOR.org): https://bit.ly/2TkLsgu (Immagini ristampate con l'autorizzazione dell'autore e FOR.)



Scansiona il codice per maggiori informazioni

# creos<sup>TM</sup> xenofill

Medicazioni riassorbibili per proteggere il letto della ferita e favorirne la guarigione

Disponibile in 3 forme e dimensioni

Realizzato con collagene purificato derivato dal tessuto bovino

Si riassorbe essenzialmente in 30 giorni





Nastro

Cilindro

1 cm x 2 cm

2,5 cm x 7,5 cm x 1 mm (spessore)



- Ferite chirurgiche parodontali
- Siti estrattivi
- Afte orali
- Ulcere orali (non infette o virali)
- Siti con suture
- Ustioni
- Lesioni traumatiche





Cuscinetto

2 cm x 4 cm x 3 mm (spessore)



# creos<sup>™</sup> syntostitch

Sutura monofilamento in PTFE non assorbibile

#### Cilindro monofilamento liscio



**creos™ syntostitch**Ingrandimento: 350 volte



PTFE della concorrenza
Ingrandimento:
350 volte

100% PTFE per uso medico Biologicamente inerte

Monofilamento Non fa penetrare i batteri

Morbido (non rigido) Confortevole per i pazienti

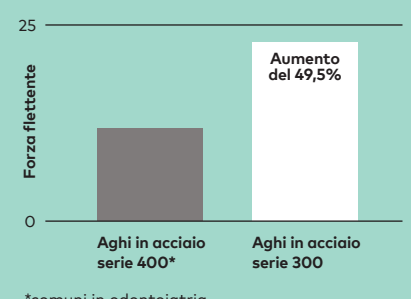
Poca o nessuna memoria della forma nella confezione Eccellente maneggevolezza e sicurezza dei nodi

Non riassorbibile Mantiene il sito chirurgico chiuso in modo affidabile

## Vantaggi degli aghi in acciaio inox serie 300:

- Materiale standard per gli aghi da sutura
- Aumenta la resistenza e l'affilatura dell'ago
- Meno forza per penetrare

#### Resistenza alla flessione



\*comuni in odontoiatria

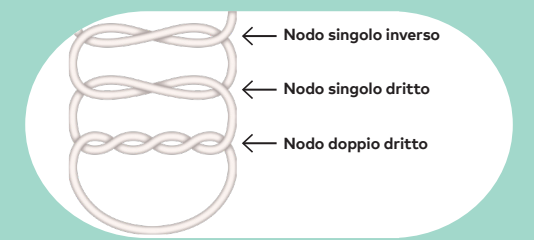
#### Formati degli aghi



#### Diametri filo



#### Nodo raccomandato<sup>1</sup>



22 brochure assortimento creos brochure assortimento creos 23

# creos<sup>™</sup> pin fixation

Perni assorbibili e non assorbibili per il fissaggio sicuro e stabile della membrana nelle procedure di rigenerazione ossea guidata (GBR)



Fissa saldamente le membrane assorbibili, non assorbibili e rinforzate in titanio per evitare micromovimenti dell'innesto.

Un kit, due tipi di perni.

Progettato per facilitare il prelievo e il rilascio dei perni dal supporto e il trasferimento stabile al sito chiruraico.

### Perni di magnesio assorbibili:



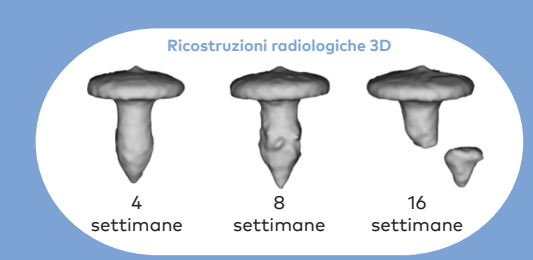
- Tranquillità: bioassorbibili, non è necessario un secondo intervento chirurgico; meno complicazioni o trasparenze dai perni lasciati in situ.
- Resistenza notevole: più resistenti di
- Biocompatibili: privi di completamente assorbiti e sostituiti dall'osso entro 18 mesi.



#### Perni in titanio:

- Estremamente resistente: nessuna corticale denso (anche se angolato).
- Facile da rimuovere: progettati per semplificare la rimozione dei perni, anche nelle aree
- Sicuri e stabili: nessun movimento anche durante gli interventi chirurgici impegnativi.

#### Processo di assorbimento dei perni in magnesio<sup>1</sup>:





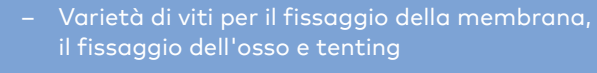


## creos<sup>TM</sup> screw fixation

Strumenti e viti per un posizionamento rapido e semplice di viti per membrane, blocchi ossei e tenting



#### Un kit per tre tipologie di viti



Strumenti progettati per funzionare universalmente con tutti i tipi di viti di

#### Viti autoforanti

#### Fissaggio stabile e sicuro

La presa facile con stabilità elevata della vite durante il trasferimento al sito chirurgico e



#### Viti di fissaggio della membrana

membrane e delle mesh



#### Viti per tenting



#### Viti di fissaggio osseo



#### Punta per contrangolo (opzionale)

Progettata per il



## **Prodotti**

## creos™ xenogain

Sostituto eterologo per innesto osseo

Peso	Dimensioni dei granuli	Volume	Flacone	Coppetta	Siringa
0,25 g		0,36 cc	N1110	N1110-B	N1210
0,5 g	— Piccoli (0,2–1,0 mm)	0,82 cc	N1120	N1120-B	N1220
1,0 g	— Piccoli (0,2–1,0 mm)	1,71 cc	N1130	N1130-B	
2,0 g		3,64 cc	N1140	N1140-B	
0,25 g		0,54 cc	N1111	N1111-B	N1211
0,5 g		1,27 cc	N1121	N1121-B	N1221
1,0 g	— Grandi (1,0–2,0 mm)	2,69 cc	N1131	N1131-B	
2,0 g		5,74 cc	N1141	N1141-B	









## creos™ xenogain collagen

creos™ xenogain + 10% collagene suino di tipo l

Peso	Dimensioni blocchetto	Codice articolo
	Difficition bloccificato	Coulce al ticolo

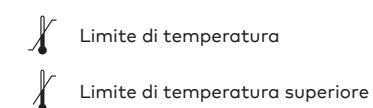
0,1 g	6 × 6 × 6 mm	N1320
0,25 g	7 × 8 × 9 mm	N1330
0,5 g	9 × 10 × 11 mm	N1340



Peso	Dimensioni siringa	Codice articolo
),25 g	4,6 × 40 mm	N1410
),5 g	5,6 × 45 mm	N1420



#### Glossario dei simboli



#### Gli articoli più venduti

### creos<sup>™</sup> xenoform

Sostituto eterologo per innesto osseo

Peso	Dimensioni dei granuli	Volume	Flacone (granuli)	Siringa
0,25 g		0,5 cc	CHY25-0210	CHYS25-0210
0,5 g	00.10	1,1 cc	CHY05-0210	CHYS05-0210
1,0 g	0,2–1,0 mm	2,1 cc	CHY10-0210	
2,0 g		4,1 cc	CHY20-0210	
0,25 g		0,6 cc	CHY25-0512	CHYS25-0512
0,5 g	- 0,5–1,2 mm	1,2 cc	CHY05-0512	CHYS05-0512
1,0 g		2,3 cc	CHY10-0512	
2,0 g		4,5 cc	CHY20-0512	







## creos™ syntogain

Innesto osseo sintetico

Peso	Dimensioni dei granuli	Volume	Flacone
0,5 g	Piccoli (0,2-1,0 mm)	0,50 cc	S1110
1,0 g	Piccoli (0,2-1,0 mm)	1,00 cc	S1120
0,5 g	Grandi (1,0–2,0 mm)	0,50 cc	S1111
1,0 g	Grandi (1,0–2,0 mm)	1,00 cc	S1121



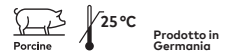


## creos<sup>™</sup> xenoprotect

La membrana di collagene riassorbibile più venduta di Nobel Biocare

Dimensioni	Codice articolo
15 × 20 mm	E1520
25 × 30 mm	E2530
30 × 40 mm	E3040





### creos<sup>™</sup> xenofirm

Membrana di collagene riassorbibile, rigida

Dimensioni	Unità/confezione	Codice articolo
15 × 20 mm	2	CLMCM1520
20 × 30 mm	2	CLMCM2030
30 × 40 mm	2	CLMCM3040



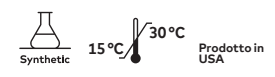


## creos™ syntoprotect, membrana in PTFE

Membrana in PTFE non riassorbibile ad alta densità

Formato	Immagine	Dimensioni	Spessore	Codice articolo	Unità/ confezione	Descrizione
Piccola		12 × 24 mm	200 µm	N161224-1	1	- Progettata specificamente _ per le procedure di innesto e di aumento del sito estrattivo
			200 µm	N161224-10	10	
Media		12 × 30 mm	200 µm	N161230-10	10	
Grande		25 20	200 µm	N162530-1	1	dove l'esposizione alla cavità orale
		25 × 30 mm	200 µm	N162530-4 4	è comune	



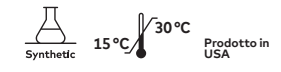


brochure assortimento creos 27

## creos™ syntoprotect, membrana in PTFE rinforzata in titanio

Membrana in PTFE ad alta densità, non riassorbibile, rinforzata in titanio

Formato	Immagine	Dimensioni	Spessore	1 unità per confezione	2 unità per confezione	Descrizione
N. 4		12 2/	150 µm	N1615TI-01-1	N1615TI-01-2	
N. 1		12 × 24 mm	250 µm	N1625TI-01-1	N1625TI-01-2	Progettata per siti estrattivi stretti
N. 1,		10.00	150 µm	n/d	n/d	di denti singoli, in particolare dove manca una parete ossea
30 mm		12 × 30 mm	250 µm	N1625TI-01-30-1	N1625TI-01-30-2	
	Q.2		150 µm	N1615TI-02-1	N1615TI-02-2	Progettata per i siti estrattivi di
N. 2		14 × 24 mm	250 µm	N1625TI-02-1	N1625TI-02-2	denti singoli, in particolare dove mancano una o più pareti ossee
		17 05	150 µm	N1615TI-03-1	N1615TI-03-2	
N. 3		17 × 25 mm	250 µm	N1625TI-03-1	N1625TI-03-2	Progettata per difetti
N. 3,			150 µm	N1615TI-03L-1	N1615TI-03L-2	vestibolari estesi
30 mm		17 × 30 mm	250 µm	N1625TI-03L-1	N1625TI-03L-2	
	NV		150 µm	N1615TI-04-1	N1615TI-04-2	Progettata per siti estrattivi estesi
N. 4		20 × 25 mm	250 µm	N1625TI-04-1	N1625TI-04-2	e un aumento limitato della cresta
	¥	0/ 05	150 µm	N1615TI-05-1	N1615TI-05-2	Progettata per siti estrattivi
N. 5		36 × 25 mm	250 µm	N1625TI-05-1	N1625TI-05-2	estesi e un aumento limitato della cresta nella mascella anteriore
N. 6	N.//	25 × 30 mm	150 µm	N1615TI-06-1	N1615TI-06-2	Progettata per difetti ossei estesi,
			250 µm	N1625TI-06-1	N1625TI-06-2	incluso l'aumento della cresta
	×		150 µm	N1615TI-07-1	N1615TI-07-2	Progettata per difetti ossei
N. 7		30 × 41 mm	250 µm	N1625TI-07-1	N1625TI-07-2	estesi, incluso l'aumento della cresta nella mascella anteriore
	XX	20 (0	150 µm	N1615TI-08-1	N1615TI-08-2	Progettata per difetti
N. 8		30 × 40 mm	250 µm	N1625TI-08-1	N1625TI-08-2	ossei molto estesi, incluso l'aumento della cresta
	NIZ	20 (0	150 µm	N1615TI-09-1	N1615TI-09-2	Progettata per difetti
N. 9		30 × 40 mm	250 µm	N1625TI-09-1	N1625TI-09-2	ossei molto estesi, incluso l'aumento della cresta
N. 10	11, 11	27 22	150 µm	N1615TI-10-1	N1615TI-10-2	Progettata per siti estrattivi estesi,
N. 10		24 × 38 mm	250 µm	N1625TI-10-1	N1625TI-10-2	incluso l'aumento della cresta
N. 44	HH	20. 22	150 µm	N1615TI-11-1	N1615TI-11-2	Progettata per difetti ossei estesi,
N. 11		38 × 38 mm	250 µm	N1625TI-11-1	N1625TI-11-2	incluso l'aumento della cresta
	HH		150 µm	N1615TI-12-1	N1615TI-12-2	Progettata per difetti ossei
N. 12		38 × 38 mm	250 µm	N1625TI-12-1	N1625TI-12-2	estesi, inclusa l'estensione distale della cresta posteriore
	NIZ		150 µm	N1615TI-13-1	N1615TI-13-2	Progettata per i difetti
N. 13		40 × 50 mm	250 µm	N1625TI-13-1	N1625TI-13-2	ossei più estesi, incluso l'aumento della cresta



## creos<sup>™</sup> syntoprotect mesh

Mesh non riassorbibile

Formato	Immagine	Dimensioni	Spessore	1 unità per confezione	Descrizione
N. 3	<b>&gt;</b>	17 × 25 mm	200 µm	301871	
N. 3, 30 mm	X	17 × 30 mm	200 μm	301892	Progettata per difetti vestibolari estesi
N. 4	ЖК	20 × 25 mm	200 μm	301872	Progettata per siti estrattivi estesi e un aumento limitato della cresta
N. 5		36 × 25 mm	200 μm	301873	Progettata per siti estrattivi estesi e un aumento limitato della cresta nella mascella anteriore
N. 6	<b>&gt;</b> «	25 × 30 mm	200 μm	301874	Progettata per difetti ossei estesi, incluso l'aumento della cresta
N. 7	X	30 × 41 mm	200 µm	301875	Progettata per difetti ossei estesi, incluso l'aumento della cresta nella mascella anteriore
N. 8	X	30 × 40 mm	200 μm	301876	Progettata per difetti ossei molto estesi, incluso l'aumento della cresta
N. 9	米	30 × 40 mm	200 µm	301877	Progettata per difetti ossei molto
N. 9M	米	30 × 40 mm	200 µm	301878	estesi, incluso l'aumento della cresta
N. 10		24 × 38 mm	200 µm	301879	Progettata per siti estrattivi estesi,
N. 10M		24 × 38 mm	200 μm	301880	incluso l'aumento della cresta
N. 11		38 × 38 mm	200 µm	301881	Progettata per difetti ossei estesi,
N. 11M		38 × 38 mm	200 µm	301882	incluso l'aumento della cresta
N. 12		38 × 38 mm	200 μm	301883	Progettata per difetti ossei estesi, inclusa l'estensione distale della cresta posteriore
N. 13	米	40 × 50 mm	200 μm	301886	Progettata per i difetti ossei più estesi, incluso l'aumento della cresta



## creos™ mucogain

Matrice di collagene assorbibile

Dimensioni	Dimensioni blocchetto	Codice articolo
15 × 20 mm	3 mm	MU15203
25 × 30 mm	3 mm	MU25303
15 × 20 mm	5 mm	MU15205
25 × 30 mm	5 mm	MU25305







Medicazione di ferite assorbibile

Dimensioni	Dimensioni	Unità/confezione	Codice articolo
Cilindro	1 × 2 cm	10	CLMBDDWDP1020
Cuscinetto	2 × 4 cm	10	CLMBDDWDF2040
Nastro	2,5 × 7,5 cm	10	CLMBDDWDT2575





## creos™ syntostitch

Sutura in PTFE non assorbibile – monofilamento

Formato ago	U.S.P.	Dimensione ago	Colore ago	Lunghezza sutura 45 cm 12 unità per confezione	Lunghezza sutura 70 cm 12 unità per confezione
TP 1/2 cerchio Rotondo	4-0	13 mm		301815	301816
	2-0	19 mm		301805	301806
	3-0	16 mm		301807	301808
		19 mm		301809	301810
RC 3/8 cerchio		16 mm	nero	301811	301812
A sezione		19 mm	nero	301813	301814
tagliente di precisione		13 mm		301817	301818
		16 mm		301819	301820
	г о	13 mm		301821	301822
	5-0	16 mm		301823	301824

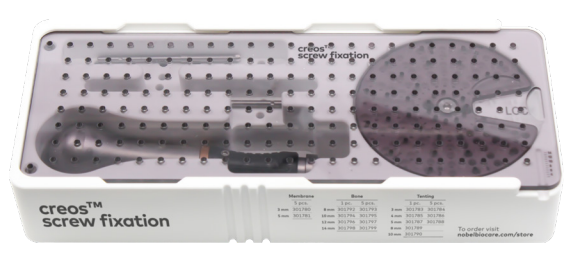




2-0 3-0 4-0 5-0

### creos<sup>™</sup> screw fixation

Viti in titanio per tenting e fissaggio di membrane/osso



rodotto negli USA

#### Il kit di stabilizzazione include

- Vassoio con scomparto per l'organizzazione delle viti
- Supporto per driver in acciaio inox
- Driver con punta a croce da 76 mm
- Driver con punta a croce da 56 mm

## Kit di tenting Articolo 301782 Prodotti inclusi Dimensioni Kit di stabilizzazione

Prodotti inclusi

della membrana

Kit di stabilizzazione

Vite autoforante di fissaggio

Kit di stabilizzazione	1	
	1,5 × 3 mm	4
Vite autoforante per tenting	1,5 × 4 mm	4
	1,5 × 5 mm	4

Kit di fissaggio membrana Articolo 301779

Dimensioni

1,5 × 3 mm

Qtà

1

20

Qtà

#### Driver per contrangolo

Descrizione	Codice articolo		
24 mm	301802		

#### Componenti singole

Descrizione	1 unità per confezione
Driver con punta a croce, 76 mm	301800
Driver con punta a croce, 56 mm	301801
Supporto per driver in acciaio inox	301803
Vassoio autoclavabile	301804
Latch Type Pilot Drill, 1,2 mm	HGMBI1001

Kit di fissaggio osseo Articolo 301791

Prodotti inclusi	Dimensioni	Qtà
Kit di stabilizzazione		1
	1,5 × 8 mm	2
Vite autofilettante di	1,5 × 10 mm	4
fissaggio osseo	1,5 × 12 mm	4
	1,5 × 14 mm	2

#### Viti di fissaggio della membrana

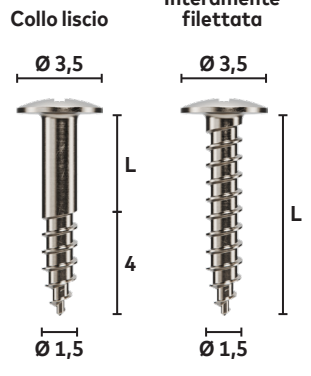
Dimensioni	5 unità per confezione
.,5 × 3 mm	301780
.,5 × 5 mm	301781



Prodotto negli USA

#### Viti per tenting

Dimensioni	Caratteristiche speciali	1 unità per confezione	5 unità per confezione
1,5 × 3 mm collo liscio		301783	301784
1,5 × 4 mm collo liscio	+4 mm di porzione filettata	301785	301786
1,5 × 5 mm collo liscio		301787	301788
1,5 × 8 mm	interamente filettata	301789	n/d
1,5 × 10 mm	interamente filettata	301790	n/d



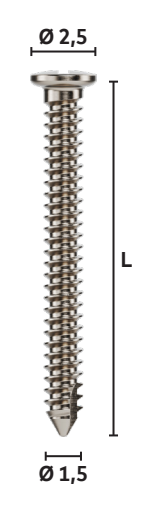
Interamente

Prodotto negli

#### Viti di fissaggio osseo

Dimensioni	1 unità per confezione	5 unità per confezione
1,5 × 8 mm	301792	301793
1,5 × 10 mm	301794	301795
1,5 × 12 mm	301796	301797
1,5 × 14 mm	301798	301799

Prodotto negli USA



Tutte le dimensioni sono espresse in millimetri.



## creos<sup>™</sup> pin fixation

Perni in titanio e magnesio per il fissaggio della membrana



Prodotto in Germanio

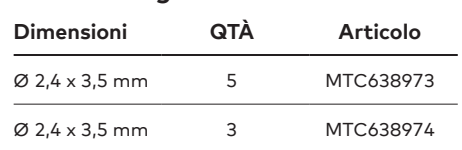
#### Kit perni di fissaggio Articolo CP200

Prodotti inclusi	Dimensioni	QTÀ	
Kit senza perni inclusi		1	

#### creos pin fixation

- Kit completamente autoclavabile
- Supporto perni
- 2 frese iniziali
- 2 Twist Drill
- NESSUN PERNO

		•				• •	•	۰
Parni	dı	magnesio	hing	SSOT	h	ıh	١ı	ı
	Q.	magnesic	DIOC	3301	$\sim$		,,,	







#### Perni in titanio non assorbibili

Dimensioni	QTÀ	Articolo
Ø 2,4 x 3,3 mm	10	CP110
Ø 2,4 x 3,3 mm	50	CP150





#### Componenti singole

Descrizione	Utilizzo	Articolo
Supporto perni	Per inserire perni assorbibili e non assorbibili	CP300
Fresa iniziale	Per la fresatura di preparazione prima dell'inserimento dei perni (consigliata in caso di osso molto duro)	HGM186RF
Twist Drill	Per la decorticazione per creare punti di sanguinamento nell'osso	HGM203RF
Master Pin Decortication Bur 2x Non incluso nel kit	Twist Drill con arresto di profondità per creare i punti di sanguinamento nell'osso	HGM203S-012-RA
Martello con un lato in plastica e uno in metallo Non incluso nel kit	Utilizzato per inserire il perno nell'area chirurgica	HGMMI154



## **Bibliografia**

#### creos™ xenogain

- 1. Nobel Biocare, dati in archivio.
- 2. Rhee S-H. Park HN. Seol Y-J et al. Effect of heattreatment temperature on the osteoconductivity of the apatite derived from bovine bone. 2006 Key Engineering Materials 309-311:41-44 Leggi
- 3. Arrighi I, Wessing B, Rieben A, et al. Resorbable collagen membranes expansion in vitro. J Dent Res 2014;93 (Spec Iss B):631 Disponibile su PubMed
- 4. Park JB, et al. Maxillary sinus floor augmentation using deproteinized bovine bone-derived bone graft material (OCS-B). Clinical and histologic findings in humans. The Journal of the Korean Dental Association. 2007;45(8):491-99 Disponibile su PubMed
- **5.** Shin S-Y, et al. Long-term results of new deproteinized bovine bone material in a maxillary sinus araft procedure. J Periodontal Implant Sci. 2014;44;259-64. Disponibile su PubMed
- 6. Aleksic Z, Milikovic I, Lazic Z, et al. A multicenter clinical investigation demonstrates bone regeneration in severe horizontal defects in the posterior mandible using creos<sup>™</sup> xenoprotect: Interim results. J Clin Periodontol 2018;45(S19):306 Leggi
- 7. Park HN, Han, SH, Kim KW, et al. A study on the safety and efficacy of bovine bone-derived bone graft material (OCS-B), J Korean Acad Periodontol. 2005 Jun;35(2):335 - 43 Leggi
- 8. Kim Y-T, et.al. Periodontal Repair on Intrabony Defects treated with Anorganic Bovine-derived Xenograft.J Korean Acad Periodontol. 2007:37(3):489 - 96
- 9. Fernandez de Grado G, Keller L, Idoux-Gillet Y et al. Bone substitutes: a review of their characteristics, clinical use, and perspectives for large bone defects management. Journal of Tissue Engineering Volume 9: 1-18, 2018 Disponibile su PubMed
- 10. Zhana K. Fan Y. Dunne N et al. Effect of microporosity on scaffolds for bone tissue engineering. Regenerative Biomaterials, 2018, 115-124 Disponibile su PubMed

#### creos™ xenoform

1. Suzuki O, Shiwaku Y, Hamai R. Octacalcium phosphate bone substitute materials: Comparison between properties of biomaterials and other calcium phosphate materials. Dent Mater J. 2020;39(2):187-199. doi:10.4012/dmj.2020-00 Disponibile su PubMed

- 2. Anil A, Sadasivan A, Koshi E. Physicochemical Characterization of Five Different Bone Graft Substitutes Used in Periodontal Regeneration: An In Vitro Study. J Int Soc Prev Community Dent. 2020;10(5):634-642. Pubblicato il 28 settembre 2020. doi:10.4103/jispcd.JISPCD\_263\_20 Leggi
- 3. JH. Lee, JH Kim, JHong Jeon, Bone Regeneration of Macropore Octacalcium Phosphate-Coated Deproteinized Bovine Bone Materials in Sinus Augmentation: A Prospective Pilot Study, Implant Dentistry, 2015;24(3):275-280 Disponibile su PubMed

#### creos™ syntogain

- 1. Hoornaert A, Maazouz Y, Pastorino D, et al. Vertical Bone Regeneration with Synthetic Biomimetic Calcium Phosphate onto the Calvaria of Rats. Tissue Eng Part C Methods. 2019 Jan;25(1):1-11. doi: 10.1089/ten.TEC.2018.0260. PMID: 30501579. Disponibile su PubMed
- 2. Barba A, Diez-Escudero A, Espanol M, et al. Impact of biomimicry in the design of osteoinductive bone substitutes: nanoscale matters. ACS Appl. Mater. Interfaces 2019. DOI:10.1021/ acsami.8b20749. Disponibile su PubMed
- 3. Dati in archivio: Mimetis XRD analysis report using the RIR quantification method. Medical device composition certificate.
- 4. Barba A. Diez-Escudero A. Maazouz Y. et al. Osteoinduction by foamed and 3D-printed calcium phosphate scaffolds: effect of nanostructure and pore architecture. ACS Appl. Mater. Interfaces 2017. DOI:10.1021/acsami.7b14175. Disponibile su PubMed
- 5. Sadowska JM. Guillem-Marti J. Montufar EB. Espanol M, Ginebra MP. \* Biomimetic Versus Sintered Calcium Phosphates: The In Vitro Behavior of Osteoblasts and Mesenchymal Stem Cells. Tissue Eng Part A. 2017 Dec;23(2324):1297-1309. doi: 10.1089/ten.TEA.2016.0406. Epub 2017 Feb 21. PMID: 28107811. Disponibile su PubMed
- **6.** Dati in archivio: Milestone 2 study (pagina 18)
- 7. Konka J. Espanol M. Bosch BM. de Oliveira E. Ginebra MP. Maturation of biomimetic hydroxyapatite in physiological fluids: a physicochemical and proteomic study. Mater Today Bio. 2021 Sep 15;12:100137. doi: 10.1016/j.mtbio.2021.100137. PMID: 34632362; PMCID: PMC8487082. Disponibile su PubMed

- 8. Hannink G, Arts C. Bioresorbability, porosity and mechanical strength of bone substitutes: What is optimal for bone regeneration? Injury. Volume 42, Supplement 2, 2011, Pages S22-S25, ISSN 0020-1383. Disponibile su PubMed
- 9. Dati in archivio: Casi clinici dal 2022.
- 10. Raymond Y, Pastorino D, Ginebreda I, et al. Computed tomography and histological evaluation of xenogenic and biomimetic bone grafts in three-wall alveolar defects in minipigs. Clin Oral Investia, 2021 Dec:25(12):6695-6706. doi: 10.1007/s00784-021-03956-y. Epub 2021 May 1. PMID: 33931811. Disponibile su PubMed
- 11. Dati in archivio: Granules handling Voice of Customer from 2017-2018 + GKEM Handling Questionnaires Results from 2022.
- 12. Dati in archivio: Milestone 2 report (chapter 2.5.1)
- 13. Henkel KO. Gerber T. Lenz S. Gundlach KK. Bienengräber V. Macroscopical, histological, and morphometric studies of porous bonereplacement materials in minipigs 8 months after implantation. Oral Surg Oral Med Oral Pathol Oral Radiol Endod. 2006 Nov:102(5):606-13. doi: 10.1016/j. tripleo.2005.10.034. Epub 2006 May 19. PMID: 17052636. Disponibile su PubMed
- 14. Weibrich G, Trettin R, Gnoth SH, et al. Bestimmung der Größe der spezifischen Oberfläche von Knochenersatzmaterialien mittels Gasadsorption. (Titolo alternativo: Analysis of the size of the specific surface area of one regeneration materials by gas adsorption). Mund Kiefer GesichtsChir (2000) 4:148-152 Springer-Verlag 2000. Leggi
- 15. Rufino Senra M, de Fátima Vieira Marques M. Synthetic Polymeric Materials for Bone Replacement. J. Compos. Sci. 2020,4, 191;doi:10.3390/jcs4040191. Leggi
- 16. Ginebra MP, Espanol M, Maazouz Y, Bergez V, Pastorino D. Bioceramics and bone healing. EFORT Open Rev 2018;3 DOI: 10.1302/2058-5241.3.170056. Disponibile su PubMed
- 17. Ginebra Cairó I., Roig Cayón M., Velasco-Ortega E. et al., Biomimetic synthetic bone graft in alveolar ridge preservation: 1-year RCT results, Abstract N°EAO-647 EAO Geneva 2022.

#### creos<sup>™</sup> xenoprotect

- 1. Aleksic Z. A multicenter clinical investigation demonstrates bone regeneration in severe horizontal defects in the posterior mandible using creos xenoprotect: Interim results. Conferenza: Europerio 9 luglio 2018. Leggi
- 2. Wessing B, Emmerich M, Bozkurt A. Horizontal ridge augmentation with a novel resorbable collagen membrane: a retrospective analysis of 36 consecutive patients. Int J Periodontics Restorative Dent 2016;36(2):179-187. Disponibile su PubMed
- **3.** Bozkurt A, Apel C, Sellhaus B, et al. Differences in degradation behavior of two non-crosslinked collagen barrier membranes: an in vitro and in vivo study. Clin Oral Impl Res; 2014; 25(12):1403-1411 Disponibile su PubMed
- 4. Gasser A, Wessing B, Eummelen L, et al. Mechanical stability of collagen membranes: an in vitro study. J Dent Res 2016;95(Spec Iss A): 1683 Leggi
- 5. Wessing B, Urban I, Montero E, et al. A multicenter randomized controlled clinical trial using a new resorbable non-cross-linked collagen membrane for guided bone regeneration at dehisced single implant sites: interim results of a bone augmentation procedure. Clin Oral Impl Res; 2017;28(11):e218-e226. Disponibile su PubMed
- 6. Sanz-Sanchez I, Wessing B, Polizzi G, et al. Randomized clinical trial comparing two resorbable collagen membranes demonstrates good bone formation and soft tissue healing with GBR at single implant sites with dehiscence defects. J Clin Periodontol 2018; 45 (S19): 19-20 [presentazione orale]. Leggi
- 7. Omar O, Dahlin A, Gasser A, et al. Tissue dynamics and regenerative outcome in two resorbable noncross- linked collagen membranes for guided bone regeneration: A preclinical molecular and histological study in vivo. Clin Oral Impl Res; 2018;29(1):7–19 Disponibile su PubMed
- 8. Aleksic Z, Milikovic I, Lazic Z, et al. A multicenter clinical investigation demonstrates bone regeneration in severe horizontal defects in the posterior mandible using creos<sup>™</sup> xenoprotect: Interim results. J Clin Periodontol 2018;45(S19):306 Leggi
- 9. Raz P, Brosh T, Ronen G, Tal H. Tensile Properties of Three Selected Collagen Membranes. Biomed Res Int. 2019 Dec 5:2019:5163603. doi: 10.1155/2019/5163603. PMID: 31886222; PMCID: PMC6915138. Disponibile su PubMed

- 10. Jäger M, Degistirici O, Knipper A, Fischer J, Sager M. Krauspe R. Bone healing and migration of cord blood-derived stem cells into a critical size femoral defect after xenotransplantation. J Bone Miner Res. 2007:22(8): 1224-33. Disponibile su PubMed
- 11. Redemagni M, Mascetti T, Garlini G. Post-Extractive Immediate Implant Placement and Immediate Provisionalization at Sites Requiring Buccal Bone Regeneration:. EC Dental Science. 2019(18.6): 1207-16. Leggi
- 12. Cadenas-Vacas G, Martínez-Rodríguez N, Barona-Dorado C, Sánchez-Labrador L, Cortés-Bretón Brinkmann J, Meniz-García C, et al. Calcium Phosphate | G, Zafiropoulos GG. Alveolar bone preservation in Modified with Silicon vs. Bovine Hydroxyapatite for Alveolar Ridge Preservation: Densitometric Evaluation, Morphological Changes and Histomorphometric Study. Materials (Basel) [Internet]. 2021;14(4): 940. Leggi
- 13. Bruyckere T de, Cosyn J, Younes F, Hellyn J, Bekx J, Cleymaet R, et al. A randomized controlled study comparing guided bone regeneration with connective tissue graft to reestablish buccal convexity: One-year aesthetic and patientreported outcomes. Clin Oral Implants Res. 2020;31(6): 507-16. <u>Disponibile su PubMed</u>
- 14. J. Jiménez Garcia, S. Berahezan, J.M.M. Caramês, M.M. Dard, D.N.S. Marques, Effect of cross-linked vs non-cross-linked collagen membranes on bone: A systematic review, J Periodont Res. 2017;1-10. Disponibile su PubMed
- 15. Bruyckere T de, Eeckhout C, Eghbali A, Younes F, Vandekerckhove P, Cleymaet R, et al. A randomized controlled study comparing guided bone regeneration with connective tissue graft to re-establish convexity at the buccal aspect of single implants: A one-year CBCT analysis. J Clin Periodontol. 2018;45(11): 1375-87. Disponibile su PubMed
- 16. González Requeiro I, Martínez Rodriguez N, Barona Dorado C, Sanz-Sánchez I, Montero E, Ata-Ali J, et al. Surgical approach combining implantoplasty and reconstructive therapy with locally delivered antibiotic in the treatment of peri-implantitis: A prospective clinical case series. Clin Implant Dent Relat Res. 2021;23(6): 864-73. Disponibile su PubMed

#### creos™ syntoprotect

- 1. Fotek PD, Neiva RF, Wang HL. Comparison of dermal matrix and polytetrafluoroethylene membrane for socket bone augmentation: a clinicaland histologic study. J Periodontol 2009;80:776-785. Disponibile su PubMed
- 2. Barboza EP, Francisco BS, Ferreira VF. Soft tissue enhancement using non-expanded PTFE membranes without primary closure [abstract]. Presentato in occasione della Research Forum Poster Session del 2008. Riunione annuale della American Academy of Periodontology (AAP) a Seattle, WA, 6-9 settembre 2008.

- 3. Ronda M. Rebaudi A. Torelli L. Stacchi C. Expanded vs. dense polytetrafluoroethylene membranes in vertical ridge augmentation around dental implants: a prospective randomized controlled clinical trial. Clin Oral Impl Res; 2014 Jul;25(7):859-66. Disponibile su PubMed
- 4. Barboza EP, Stutz B, Ferreira VF, Carvalho W. Guided bone regeneration using nonexpanded polytetrafluoroethylene membranes in preparation for dental implant placements - a report of 420 cases. Implant Dent. 2010;19:2-7. Disponibile su PubMed
- 5. Hoffman O, Bartee BK, Beaumont C, Kasaj A, Deli extraction sockets using non-resorbable dense PTFE membranes: A retrospective non-randomized study. J Periodontol 2008;79:1355-1369. Disponibile su PubMed

#### creos™ syntoprotect mesh

- 1. Urban IA, Saleh MHA, Ravidà A, Forster A, Wang HL, Barath Z. Vertical bone augmentation utilizing a titanium-reinforced PTFE mesh: A multi-variate analysis of influencing factors. Clin Oral Implants Res. 2021 Jul;32(7):828-839. Disponibile su Europe PMC.
- 2. Bettini S, Rengo C, Fiorino A, Cucchi A. Vertical Ridge Augmentation Using Reinforced PTFE Mesh Versus Customized Titanium Mesh. Preliminary Results Of A Randomized Clinical Trial. Poster presentato presso 2020 IAO a Milano, Italia. Accedere allo studio.

#### creos™ mucogain

- 1. Aguirre-Zorzano LA, García-De La Fuente AM, Estefanía-Fresco R, et al. Complications of harvesting a connective tissue graft from the palate. A retrospective study and description of a new technique. J Clin Exp Dent 2017;9(12):e1439-e1445. Disponibile su PubMed
- 2. Griffin TJ, Cheung WS, Zavras Al, et al. Postoperative complications following gingival augmentation procedures. J Periodontol 2006;77(12):2070-2079. Disponibile su PubMed
- 3. Harris RJ, Miller R, Miller LH, et al. Complications with surgical procedures utilizing connective tissue grafts: a follow-up of 500 consecutively treated cases. Int J Periodontics Restorative Dent 2005;25(5):449-459.C513 Disponibile su PubMed
- 4. Damink L.O., Heschel I. Leemhuis H. et al Gasser A. Wessina B. Eummelen L. et al. Soft tissue volume augmentation in the oral cavity with a collagen-based 3D matrix with orientated open pore structure. Current Directions in Biomedical Engineering 2018; 4(1): 237 -241 References 1-10 11-20 <u>Disponibile su Researchgate</u>
- 5. Heschel I, et al. 2002. Method for producing porous structures. Brevetto statunitense, 6,447,701 B1.

- 6. Boekema B., Vlig F, Damink O.L. et al. Effect of pore size and cross-linking of a novel collagenelastin dermal substitute on wound healing. J Mater Sci Mater Med 2014:25(2):423-433 Disponibile su PubMed
- 7. Wessing B, Vasilic N. Soft tissue augmentation with a new regenerative collagen 3-D matrix with oriented open pores as a potential alternative to autologous connective tissue grafts. Clin Oral Impl Res; 2014 Sep;25(s10)
- 8. Sanz-Martin I. Encalada C. Sam-Sanchez I. et al. Soft tissue augmentation at immediate implants using a novel xenogeneic collagen matrix in conjunction with immediate provisional restorations: A prospective case series. Clin Implant Dent Relat Res 2019;21(1):145-153. Disponibile su PubMed
- 9. Cirillo F and Encalada C. Periodontal plastic surgery: treatment of multiple gingival recessions. FOR.org Disponibile su FOR.org

#### creos™ xenofill

Basma, H. S., Saleh, M. H. A., Abou-Arraj, R. V., Imbrogno, M., Ravida, A., Wang, H. L., Li, P., & Geurs, N. (2023). Patient-reported outcomes of palatal donor site healing using four different wound dressing modalities following free epithelialized mucosal grafts: A four-arm randomized controlled clinical trial. Journal of periodontology, 94(1), 88-97. Disponibile su PubMed

#### creos™ syntostitch

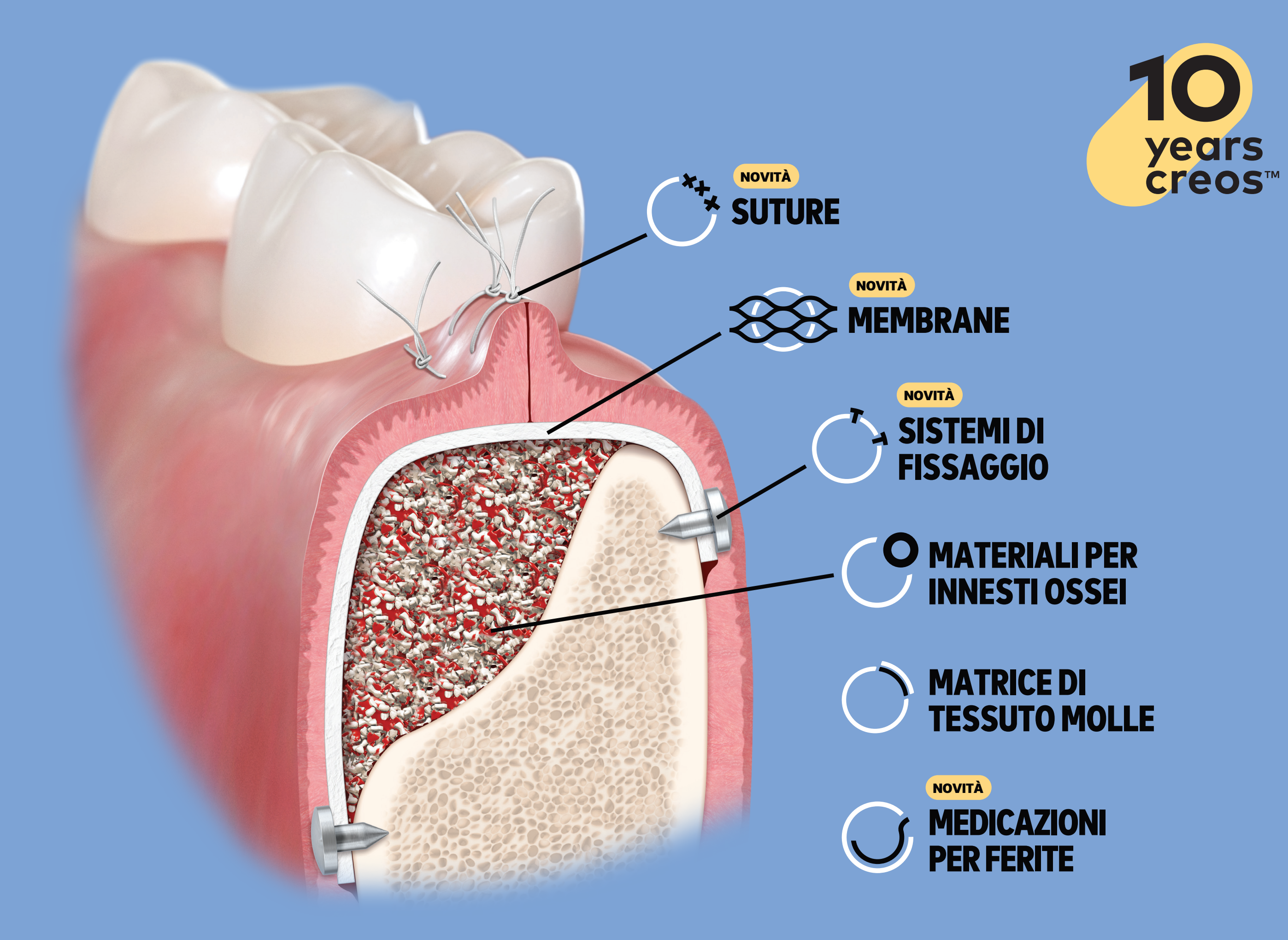
- 1. Abellán, D., Nart, J., Pascual, A., Cohen, R. E., & Sanz-Moliner, J. D. (2016). Physical and Mechanical Evaluation of Five Suture Materials on Three Knot Configurations: An in Vitro Study. Polymers, 8(4), 147. Leggi
- 2. Taysi AE, Ercal P, Sismanoglu S. Comparison between tensile characteristics of various suture materials with two suture techniques: an in vitro study. Clin Oral Investig. 14 aprile 2021. Disponibile su PubMed
- 3. Silverstein LH, Kurtzman GM, Shatz PC. Suturing for optimal soft-tissue management. J Oral Implantol. 2009;35:82-90. Disponibile su PubMed
- 4. Silverstein LH. Suturing principles: Preserving needle edges during dental suturing. PPAD. 2005;17:562-564.
- 5. Urban IA, Lozada JL, Wessing B, Suárez-López del Amo F, Wang HL. Vertical Bone Grafting and Periosteal Vertical Mattress Suture for the Fixation of Resorbable Membranes and Stabilization of Particulate Grafts in Horizontal Guided Bone Regeneration to Achieve More Predictable Results: A Technical Report. Int J Periodontics Restorative Dent. 2016;36(2):153-159. doi:10.11607/prd.2627 Disponibile su Pubmed

### creos<sup>™</sup> pin fixation

- 1. Silva L, Köcher P, Kopp A, et al.. Perni di fissaggio assorbibili a base di magnesio per membrana con proprietà meccaniche migliorate: valutazione preclinica e clinica. Riunione congiunta EAO 2024 con IAO e SIdP.
- 2. Herzog P, Rendenbach C, Turostowski M, et al. Titanium versus plasma electrolytic oxidation surface-modified magnesium miniplates in a forehead secondary fracture healing model in sheep. Acta Biomaterialia. 2024; Leggi
- 3. Rendenbach C, Fischer H, Kopp A, et al. Improved in vivo osseointegration and degradation behaviour of PEO surface-modified WE43 magnesium plates and screws after 6 and 12 months. Materials Science and Engineering, 2021, Volume 129, Leggi

#### creos™ screw fixation

- 1. Plonka, A. B., Urban, I. A., & Wang, H. L. (2018). Decision Tree for Vertical Ridge Augmentation. The International journal of periodontics & restorative dentistry, 38(2), 269-275. Disponibile su PubMed
- 2. Urban, I. A., Monje, A., Lozada, J., & Wang, H. L. (2017). Principles for Vertical Ridge Augmentation in the Atrophic Posterior Mandible: A Technical Review. The International journal of periodontics & restorative dentistry, 37(5), 639-645. Disponibile su PubMed
- 3. Gultekin, B. A., Cansiz, E., & Borahan, M. O. (2017). Clinical and 3-Dimensional Radiographic Evaluation of Autogenous Iliac Block Bone Grafting and Guided Bone Regeneration in Patients With Atrophic Maxilla. Journal of oral and maxillofacial surgery: official journal of the American Association of Oral and Maxillofacial Surgeons, 75(4), 709-722. https://doi. org/10.1016/j.joms.2016.11.019 Disponibile su PubMed
- 4. Wessing B, Urban I, Montero E, et al. A multicenter randomized controlled clinical trial using a new resorbable non-cross-linked collagen membrane for guided bone regeneration at dehisced single implant sites: interim results of a bone augmentation procedure. Clin Oral Impl Res; 2017;28(11):e218-e226. <u>Disponibile su PubMed</u>



#### Ording online

Ordina l'assortimento completo di creos™ 24 ore su 24 attraverso l'Online Store di Nobel Biocare.

nobelbiocare.com/store

#### Ordina per telefono

Rivolgiti al rappresentante commerciale o al servizio clienti.

nobelbiocare.com/contact







89224 IT 2411 Stampato nell'Unione Europea © Nobel Biocare Services AG, 2024. Tutti i diritti riservati. Distribuito da: Nobel Biocare. Esclusione di responsabilità: Nobel Biocare, il logo Nobel Biocare e tutti gli altri marchi di fabbrica sono, salvo diversa dichiarazione o evidenza dal contesto in un caso specifico, marchi di fabbrica Nobel Biocare. Per ulteriori informazioni, fare riferimento al sito nobelbiocare.com/trademarks. Le immagini dei prodotti non sono necessariamente in scala. Tutte le immagini dei prodotti hanno finalità puramente illustrative e possono non essere la rappresentazione esatta del prodotto. Alcuni prodotti potrebbero non avere l'approvazione o l'autorizzazione alla vendita da parte degli enti normativi in tutti i mercati. Rivolgersi all'ufficio vendite locale di Nobel Biocare per informazioni sulla gamma dei prodotti esistenti e sulla loro disponibilità. Attenzione: la legge federale (Stati Uniti) o la legge nella propria giurisdizione può limitare la vendita di questo dispositivo da parte o su ordine di un odontoiatra o di un medico. Per le informazioni complete relative alle prescrizioni, tra cui indicazioni, controindicazioni, avvertenze e precauzioni, consultare le Istruzioni per l'uso. creos™ xenogain è prodotto per/da Nibec Co. Ltd., Chungcheongbuk-do, 27816 Corea e distribuito da Nobel Biocare Services AG. creos™ xenoform è prodotto per/da Chiyewon, Gyeonggido, Corea 11927 e distribuito da Nobel Biocare Services AG. creos™ xenoprotect e creos™ mucogain sono prodotti per/da Matricel GmbH, Kaiserstrasse 100, 52134 Herzogenrath, Germania e distribuiti da Nobel Biocare Services AG. creos™ syntoptotect, creos™ syntoptitch, creos™ screw fixation sono prodotti per/da Osteogenics Biomedical, 4620 71st St # 78, Lubbock, TX 79424, USA e distribuiti da Nobel Biocare Services AG. I perni di fissaggio in magnesio creos™ sono prodotti per/da Meotec GmbH, Philipsstraße 8, 52068 Aquisgrana, Germania e distribuiti da Nobel Biocare Services AG. I kit perni di fissaggio in magnesio creos™ xeno